

數位控制系統 Project #2

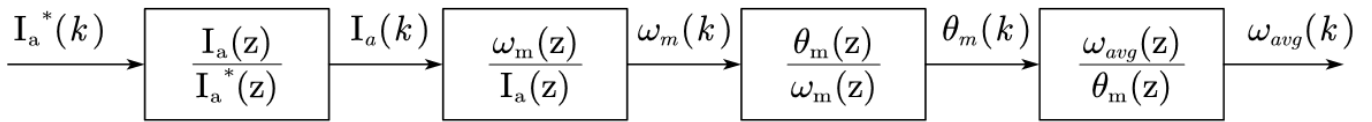
機械所 系統控制組 劉育如 R09522826

機械所 系統控制組 莊源誠 R09522850

台科大 機械工程系 郭忠翔 B10531019

1. Plot the discrete-time “cascaded” block diagram in Z-domain with energy flow from $i_a^*(k) \Rightarrow i_a(k) \Rightarrow \omega(k) \Rightarrow \theta_m(k) \Rightarrow \omega_{avg}(k)$. Express all functions with numerical values.

系統的方塊圖可以表示為：



當系統參數為：

$$\begin{aligned} Jp &= 0.01 & Kg &= m^2 \\ K_T &= 0.14 & Nm/Amp \\ \tau_i &= 0.0003 & sec \\ T &= 0.0002 & sec \end{aligned}$$

其中系統的子轉移函數分別為：

Transfer function for $i_a^*(k) \Rightarrow i_a(k)$:

$$\begin{aligned} \frac{I_a(z)}{I_a^*(z)} &= (1 - z^{-1}) \cdot \mathcal{Z}\left(\frac{1}{s(\tau_i s + 1)}\right) \\ &= \frac{\left(1 - e^{-\frac{T}{\tau_i}}\right) \cdot z^{-1}}{1 - e^{-\frac{T}{\tau_i}} \cdot z^{-1}} = 0.4866 \cdot \frac{z^{-1}}{(1 - 0.5134 \cdot z^{-1})} \end{aligned} \quad (1.1)$$

Transfer function for $i_a(k) \Rightarrow \omega(k)$:

$$\frac{\omega_m(z)}{I_a(z)} = 1.55 \times 10^{-3} \cdot \frac{1 + 0.801z^{-1}}{1 - z^{-1}} \quad (1.2)$$

Transfer function for $\omega(k) \Rightarrow \theta_m(k)$:

$$\frac{\theta_m(z)}{\omega_m(z)} = \frac{7.0196 \times 10^{-5} (1 + 3.1904z^{-1}) (1 + 0.2247z^{-1})}{(1 - z^{-1}) (1 + 0.801z^{-1})} \quad (1.3)$$

Transfer function for $\theta_m(k) \Rightarrow \omega_{avg}(k)$:

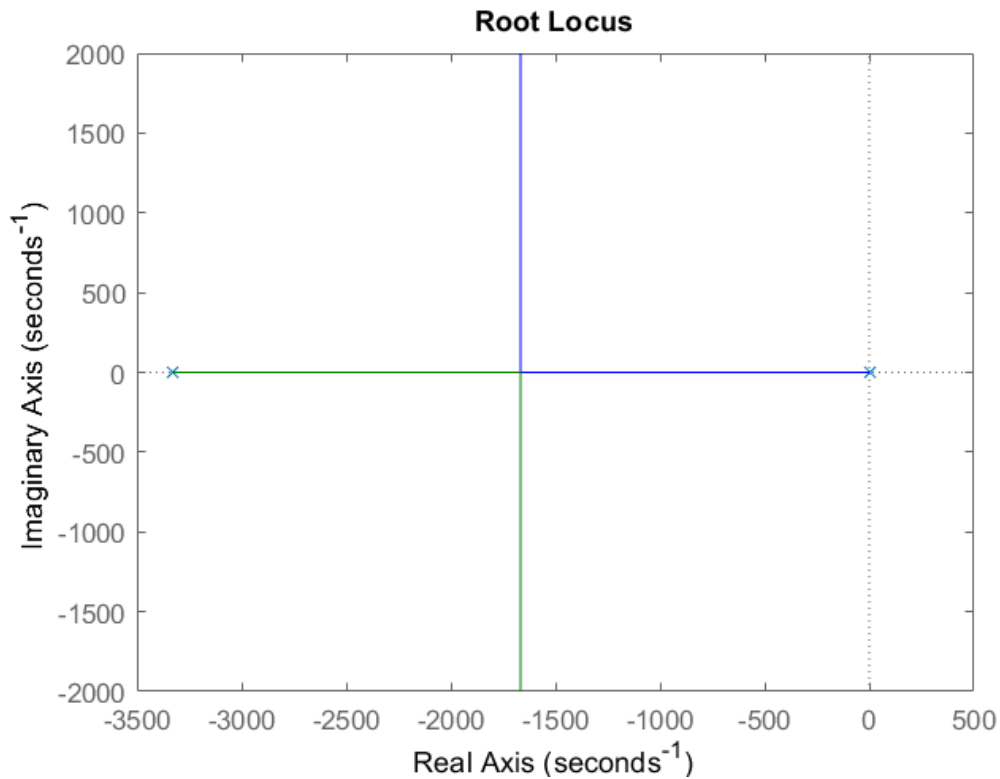
$$\frac{\omega_{avg}(z)}{\theta_m(z)} = \frac{\omega_{avg}(z)}{\omega_m(z)} \cdot \frac{\omega_m(z)}{\theta_m(z)} = 5.0003 \times 10^3 \cdot (1 - z^{-1}) \quad (1.4)$$

2. C(z) design based on continuous approximation: Design a discrete-time speed controller with zero steady state error and 100Hz bandwidth ($s = -2\pi \times 100\text{Hz}$). You may apply the pole/zero cancellation in continuous-time. Explain the design procedure and show the

controller transfer function ($\frac{I_a^*(z)}{\omega_{err}(z)} = ?$) with both parameter and

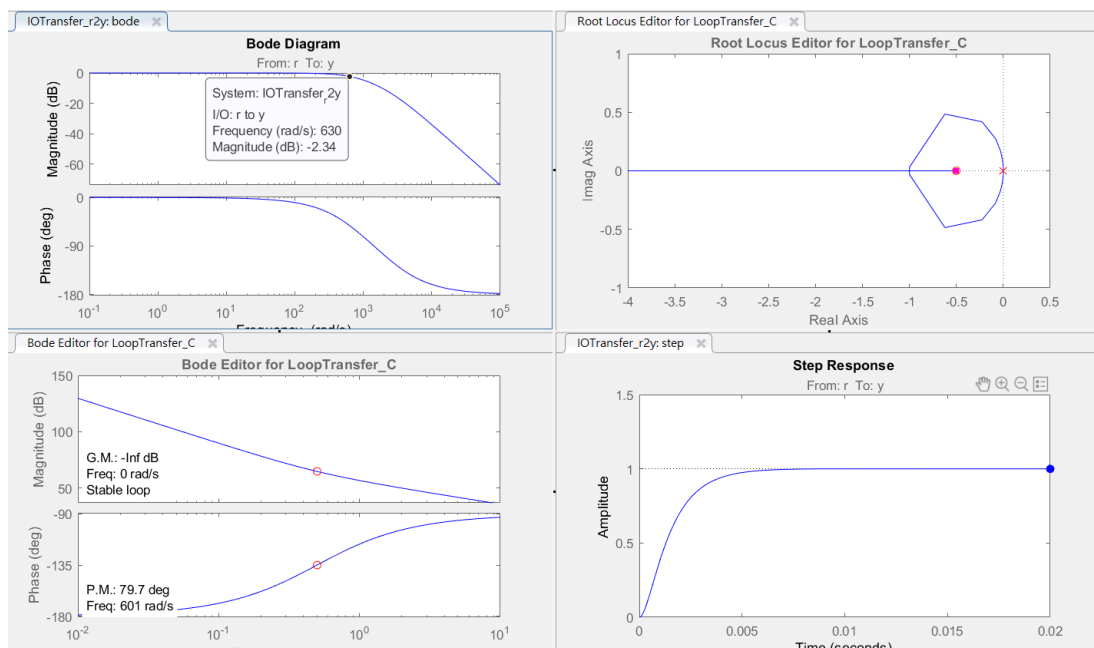
numerical values. Please pay attention on the non-minimum phase zero at $Z = -3.1904$.

首先，由開路系統的時域根軌跡可以發現，此開路系統為穩定：



為達成「頻寬為 100 Hz」且「沒有穩態誤差」兩個設計條件，透過 Controller

System Designer 設計 PI 控制器：



為達成設計條件，將時域之 PI 控制器設計為以下形式：

$$C_{PI}(s) = K_p + \frac{K_i}{s} \quad (2.1)$$

$$K_p = 43.6159, K_i = 21.8090 \quad (2.2)$$

經過設計後可以發現，最終閉路系統的頻寬為 737.9135 rad/s (約 117.3 Hz)，且沒有穩態誤差，滿足設計需求。

最終，透過 bilinear transform:

$$s = \frac{2}{T} \frac{(z-1)}{(z+1)} \quad (2.3)$$

即可將式(2.1)改寫為離散控制器。最終，離散控制器為:

$$\begin{aligned} \frac{I_a^*(z)}{\omega_{err}(z)} &= C(z) \cdot \hat{K}_T^{-1} = C_{PI}(z) \\ &= \left(K_p + K_i \frac{T}{2} \frac{(z+1)}{(z-1)} \right) \quad \text{where } K_p = 43.6159, K_i = 21.8090 \quad (2.4) \\ &= 43.6159 + 0.0022 \cdot \frac{(z+1)}{(z-1)} \end{aligned}$$

Note：由於此系統開路時穩定，使用 PI 控制器控制系統仍穩定。因此，為與 direct design 比較，設計兩者的 PI 控制器的增益值相同。

3. C(z) design based on direct design: Design C(z) with the same requirement from Question#2. You may apply the pole/zero cancellation in discrete-time. Explain the design procedure and show

the controller transfer function ($\frac{I_a^*(z)}{\omega_{err}(z)} = ?$) with both parameter and

numerical values. A non-minimum phase zero at $Z = -3.1904$ must be considered in your controller design.

透過子系統轉移函數的解析解：

Transfer function for $i_a^*(k) \Rightarrow i_a(k)$:

$$\frac{I_a(z)}{I_a^*(z)} = \frac{\left(1 - e^{-\frac{T}{\tau_i}}\right) \cdot z^{-1}}{1 - e^{-\frac{T}{\tau_i}} \cdot z^{-1}} \quad (3.1)$$

Transfer function for $i_a(k) \Rightarrow \omega(k)$:

$$\frac{\omega_m(z)}{I_a(z)} = \frac{K_T}{J_p} \frac{B_{\omega i 0} + B_{\omega i 1} z^{-1}}{A_{\omega i} (1 - z^{-1})} \quad (3.2)$$

$A_{\omega i} = \frac{1}{\tau_i} \left(1 - e^{-\frac{T}{\tau_i}}\right)$, $B_{\omega i 0} = \frac{T}{\tau_i} - 1 + e^{-\frac{T}{\tau_i}}$, and $B_{\omega i 1} = 1 - e^{-\frac{T}{\tau_i}} - \frac{T}{\tau_i} e^{-\frac{T}{\tau_i}}$

Transfer function for $\omega(k) \Rightarrow \theta_m(k)$:

$$\frac{\theta_m(z)}{\omega_m(z)} = \frac{B_{\theta \omega 0} + B_{\theta \omega 1} z^{-1} + B_{\theta \omega 2} z^{-2}}{1 + A_{\theta \omega 1} z^{-1} + A_{\theta \omega 2} z^{-2}} \quad (3.3)$$

$$\left\{ \begin{array}{l} A_{\theta \omega 1} = \frac{B_{\omega i 1} - B_{\omega i 0}}{B_{\omega i 0}} \\ A_{\theta \omega 2} = \frac{-B_{\omega i 1}}{B_{\omega i 0}} \\ B_{\theta \omega 0} = \frac{T^2}{2\tau_i B_{\omega i 0}} - \tau_i \\ B_{\theta \omega 1} = \frac{T^2}{2\tau_i B_{\omega i 0}} \left(1 - e^{-\frac{T}{\tau_i}}\right) - A_{\theta \omega 1} \tau_i \\ B_{\theta \omega 2} = -\frac{T^2}{2\tau_i B_{\omega i 0}} e^{-\frac{T}{\tau_i}} - A_{\theta \omega 2} \tau_i \end{array} \right.$$

將(3.1)、(3.2)及(3.3)相乘，即可得在不同取樣時間下的 New System Dynamics:

$$NSD(z) = \frac{I_a(z)}{I_a^*(z)} \cdot \frac{\omega_m(z)}{I_a(z)} \cdot \frac{\theta_m(z)}{\omega_m(z)} \quad (3.4)$$

透過(1.1)、(1.2)及(1.3)相乘可得當取樣時間 $T=0.0002\text{ s}$ 時，離散系統的

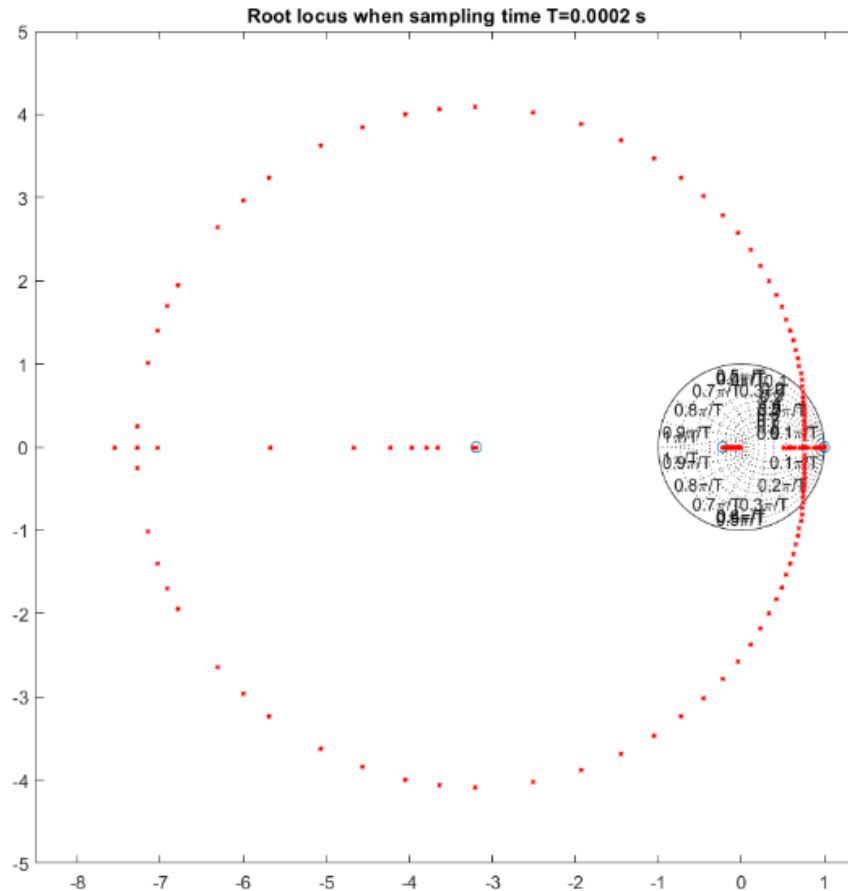
$NSD(z)$ 為：

$$NSD(z) = \frac{5.294 \times 10^{-8} \cdot z^{-1} \cdot (1 + 3.1904z^{-1}) \cdot (1 + 0.2247z^{-1})}{(1 - 0.5134 \cdot z^{-1}) \cdot (1 - z^{-1})^2} \quad (3.5)$$

得到實際的離散系統，我們即可透過 pole/zero cancellation 的方式，將根放到我們想要的位置以滿足設計需求。因此，設計離散控制器為：

$$C_{\text{direct_design}}(z) = K_c \cdot \frac{(z - \delta_c)}{(z - 1)} \quad (3.6)$$

值得注意的是，由於系統包含一支不穩定的零點，因此當增益太大時，仍會導致系統會發散。令 $\delta_c = 0.9999$ 為一靠近 1 的零點。透過離散根軌跡可以發現，雖然系統包含一支不穩定的零點，導致當增益太大時系統仍會發散，但仍有一部份的根落在單位圓內，使系統穩定。且為避免震盪的現象，取增益值 $K_c = 43.6181$ 使系統右邊的兩支極點重根(critical-damped)，即完成控制器設計。

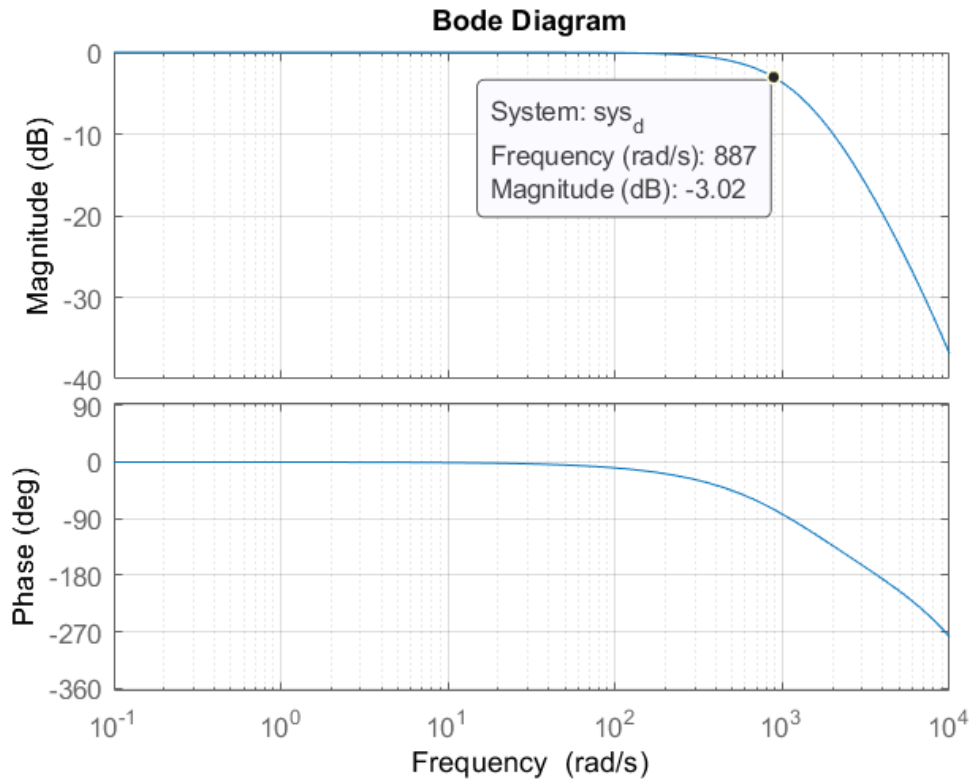


最終，離散控制器為：

$$\begin{aligned}
 \frac{I_a^*(z)}{\omega_{\text{err}}(z)} &= C(z) \cdot \hat{K}_T^{-1} = C_{\text{direct_design}}(z) \\
 &= K_c \cdot \frac{(z - \delta_c)}{(z - 1)} \quad \text{where } K_c = 43.6181, \delta_c = 0.9999 \quad (3.7) \\
 &= 43.6181 \cdot \frac{(z - 0.9999)}{(z - 1)}
 \end{aligned}$$

Note：由於我們知道系統的 NSD 的解析式，因此，當取樣時間改變時，我們即可得到針對不同取樣時間的 NSD。再經由上面的流程，即可設計針對不同取樣時間的控制器。

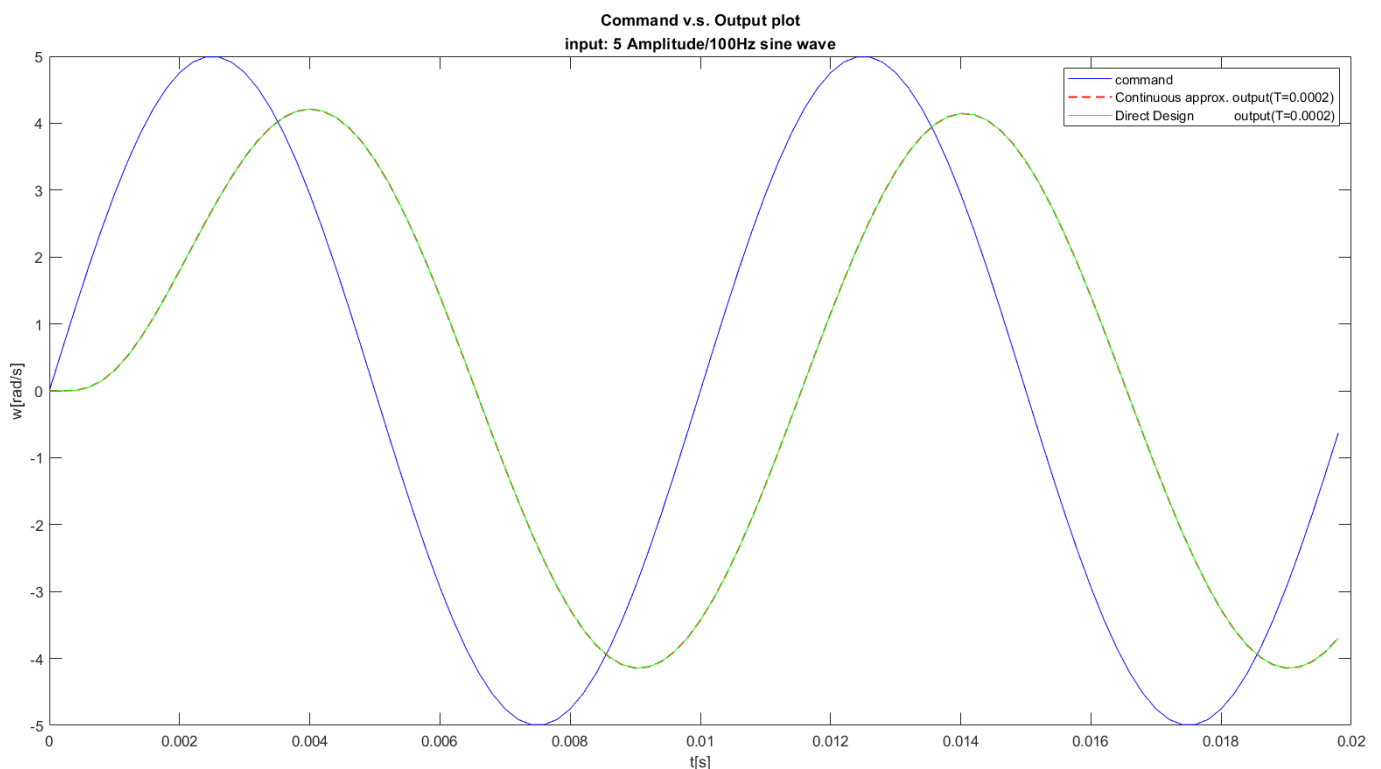
由離散系統的波德圖可以發現，此離散閉路系統的頻寬為 887 rad/s (約 141.1 Hz)，且沒有穩態誤差，滿足設計需求。



4. Tracking comparison: Construct a Simulink model from the example file. Apply a 5A/100Hz sine-wave speed command to compare these two controllers. Compare two different sample time T respectively at 0.0002 sec and 0.0005 sec. Please overlay $\omega_{avg}^*(k)$, $\omega_{avg}(k)$ (continuous approximation) and $\omega_{avg}(k)$ (direct design) in one plot to demonstrate the performance difference. Two figures with different sample time should be given.

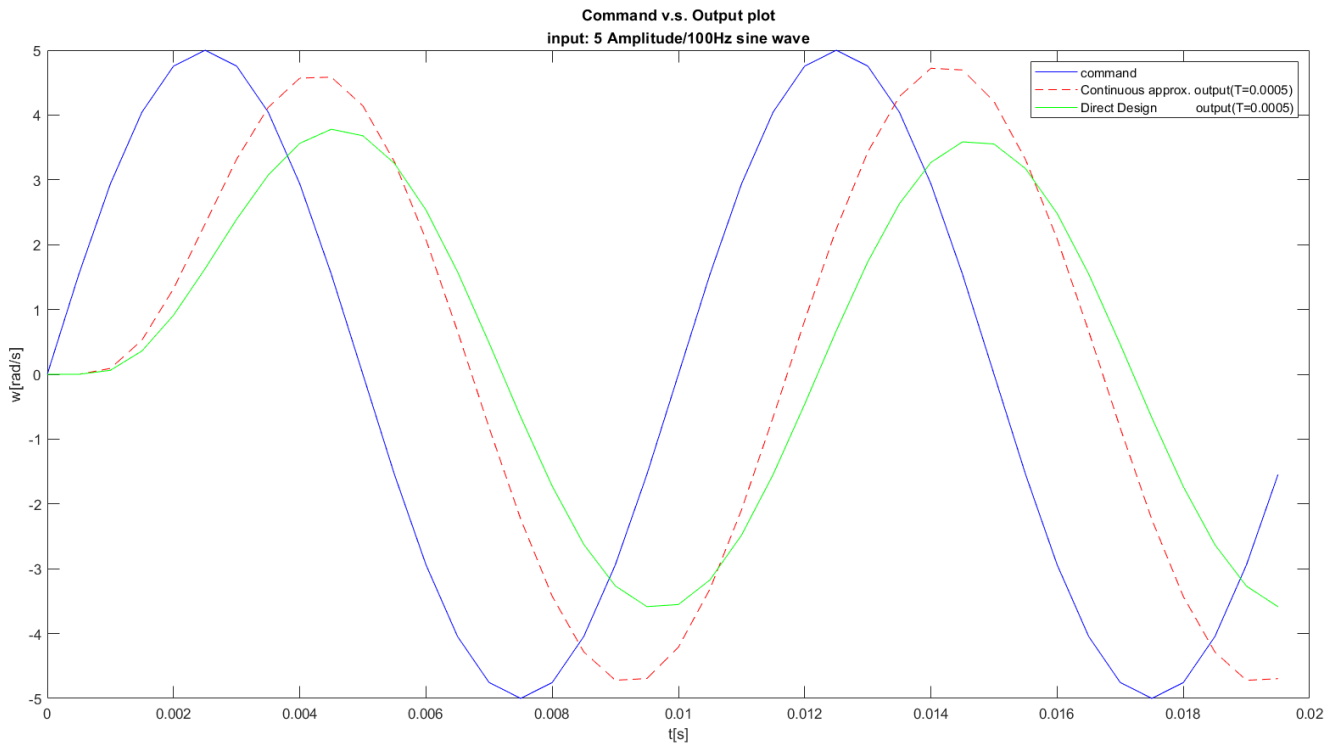
● **取樣時間為 $T=0.0002$:**

當取樣時間為 $T=0.0002$ 時，由結果可以發現最終的響應兩者重合，原因是前題在兩個控制器時，特意藉由 continuous approximation 及 direct design 不同的設計方法，得到相同一個控制器。而這麼做的目的在於，這樣可以更好的比較兩者控制器因取樣時間改變而造成的影響。

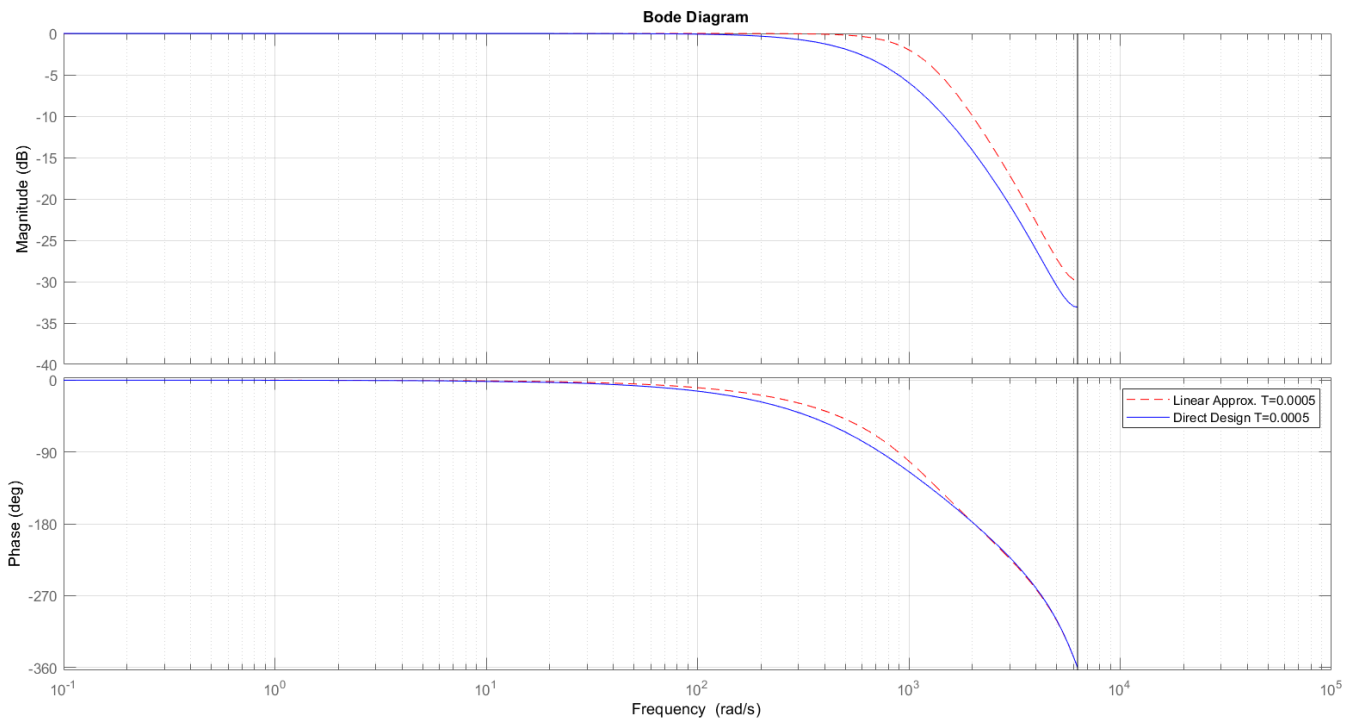


● 取樣時間為 $T=0.0005$:

當取樣時間為 $T=0.0005$ 時，可以發現藉由 continuous approximation 所設計的控制器，其響應較由 direct design 所設計的控制器更好接近原本的相位與振幅。

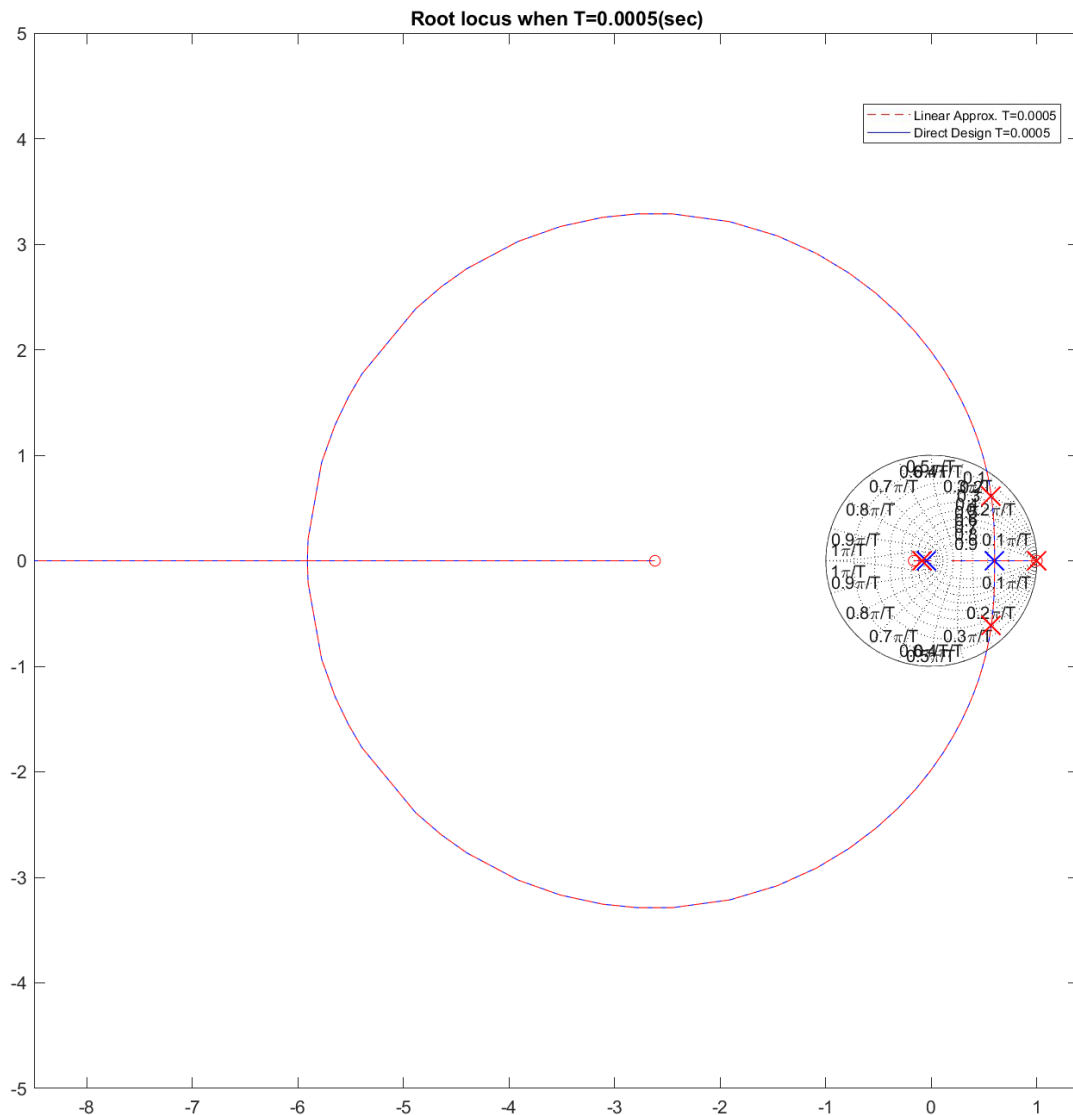


由二者的波德圖亦可以看出，藉由 continuous approximation 所設計的控制器相較於由 direct design 所設計的控制器有較大的頻寬。

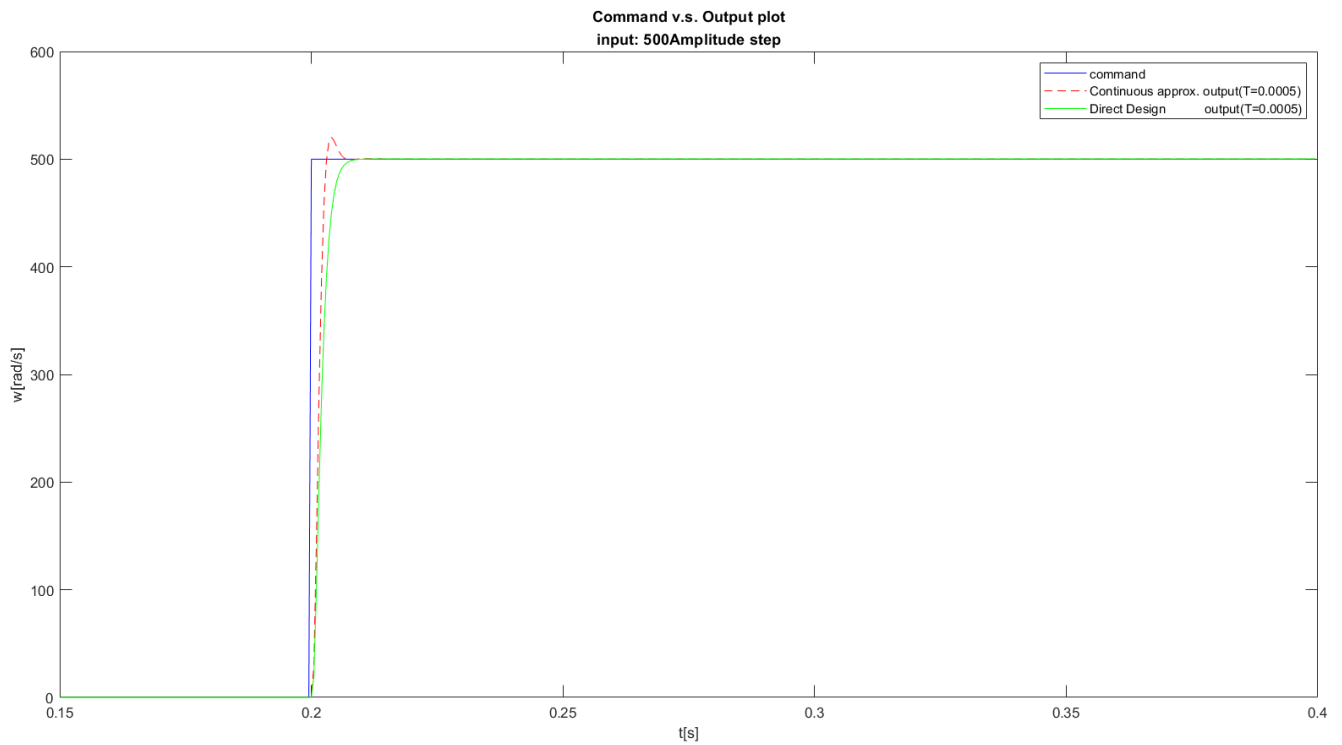


由上述的結果，但難道這意味著藉由 continuous approximation 所設計的控制器相較於由 direct design 所設計的控制器更好嗎？

其實不然，透過比較兩者的根軌跡可以發現，當 $T=0.0005$ sec 時，透過 continuous approximation 所設計的控制器，其根的位置落在 $z = 0.5671 \pm i0.6161$ 的共軛虛根(under-damped)，且已經接近單位圓；而透過 direct design 所設計的控制器，其根的位置落在 $z = 0.599$ 的重根(critical-damped)。因此，雖然 continuous approximation 所設計的根的實部小於 direct design 所設計的根的實部，具有較大的頻寬(e.g. $\exp(-BW*2\pi*T)$)，但更容易發生振盪

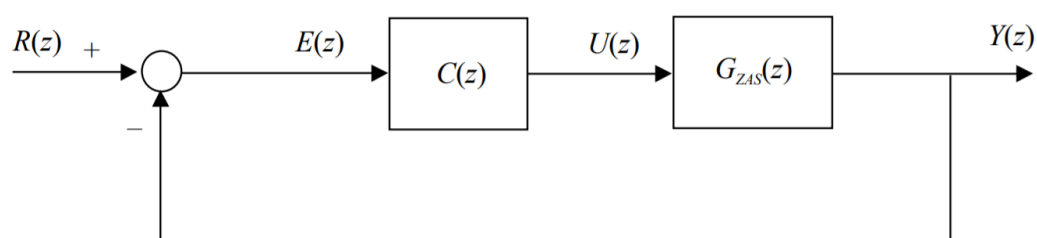


比較兩者的步階響應可以明顯地看出透過 continuous approximation 的響應有明顯的 overshoot，而 direct design 所設計的控制器沒有這一現象，與根軌跡的結果相符。



5. (20%)Disturbance rejection: Apply a 30A step disturbance T_d at $kT=5$. The speed is controlled at 500 rad/s. Compare two different sample time T respectively at 0.0002 sec and 0.0005 sec. Please overlaid $\omega_{avg}(k)$ (continuous approximation) and $\omega_{avg}(k)$ (direct design) in one plot to demonstrate the transient setting time and steady state error. Figures with two different sample times should be given.

透過以下的方塊圖：



系統的誤差 $E(z)$ 可以表示為：

$$E(z) = \frac{R(z)}{1 + G_{ZAS}(z)C(z)} \quad (5.1)$$

對上式取終值定理，即可得穩態誤差為：

$$\begin{aligned} e(\infty) &= (1 - z^{-1})E(z) \Big|_{z=1} \\ &= (1 - z^{-1}) \frac{R(z)}{1 + G_{ZAS}(z)C(z)} \Big|_{z=1} \end{aligned} \quad (5.2)$$

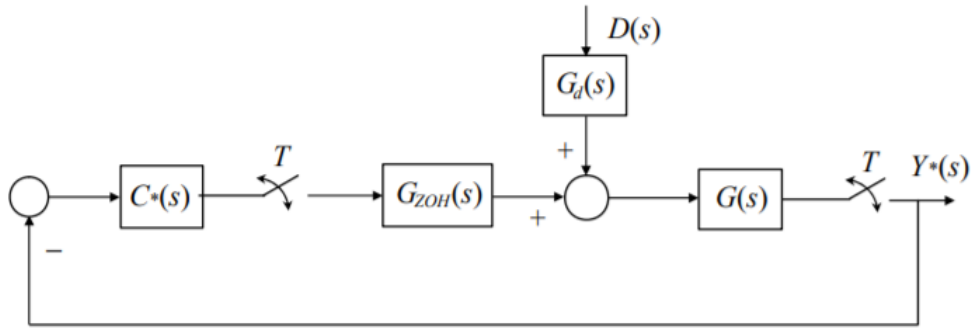
由於輸入為步階函數時，其分母為 $(z-1)$ 與 (5.2) 中的 $(z-1)$ 相消：

$$R(z) = \frac{z}{z-1} \quad (5.3)$$

導致穩態誤差產生。

若控制器或受控廠本身的分母帶有 n 個在 1 的極點(即 $(1 - z^{-1})^n$)，我們即稱系統的階數為 n 。因此若系統的階數大於等於輸入的階數，即可達到消除穩態誤差的效果。

現在，考慮一帶有雜訊的系統：



經由推倒，我們可以知道系統輸出為：

$$Y(z) = \frac{(GG_d D)(z)}{1 + G_{ZAS}(z)C(z)} \quad (5.4)$$

對上式取終值定理，即可得系統的穩態誤差為：

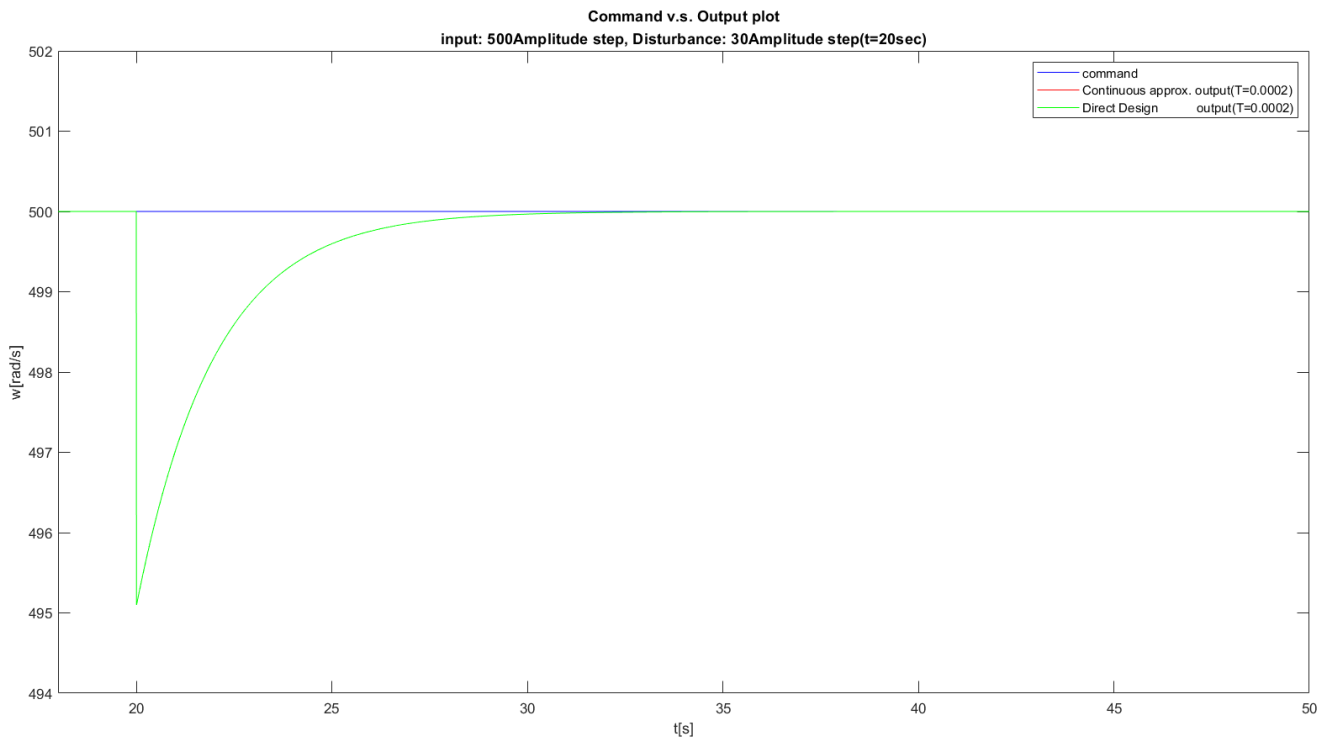
$$y(\infty) = (1 - z^{-1})Y(z)|_{z=1} \quad (5.5)$$

透過前頁的相似推倒可的相同的結果，即系統的階數大於等於雜訊的階數，即可達到雜訊抑制的效果。

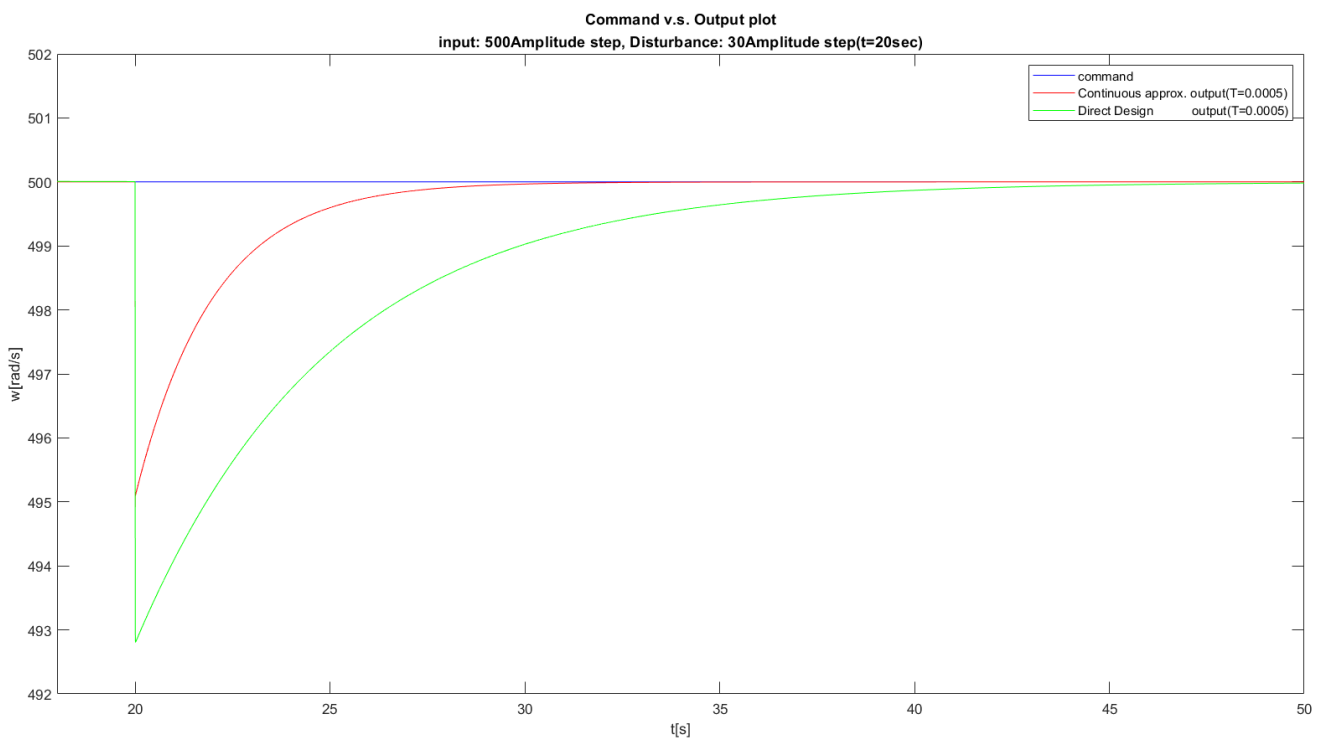
※ Reference: “Digital Control Engineering (Second Edition), “ M. Sami Fadali, Antonio Visioli.

觀察第 2 題設計的 continuous approximated controller 與第 3 題設計的 direct designed controller，其中都帶有 $(1 - z^{-1})$ ，因此其階數為 1。而不論是輸出還是雜訊階是步階訊號，階數也是 1。因此兩者能夠達到消除穩態誤差及抑制雜訊的效果。透過實際的響應我們也能夠看到響應最終沒有穩態誤差。

● 當取樣時間為 $T=0.0002$:



● 當取樣時間為 $T=0.0005$:



Note：值得注意的是，由於所選的零點為 0.9999 非常趨近於 1。因此，雖然控制器的階數提升 1，沒有穩態誤差產生，但是其動態會被 0.9999 的零點抑制，造成穩態的時間需要非常久。

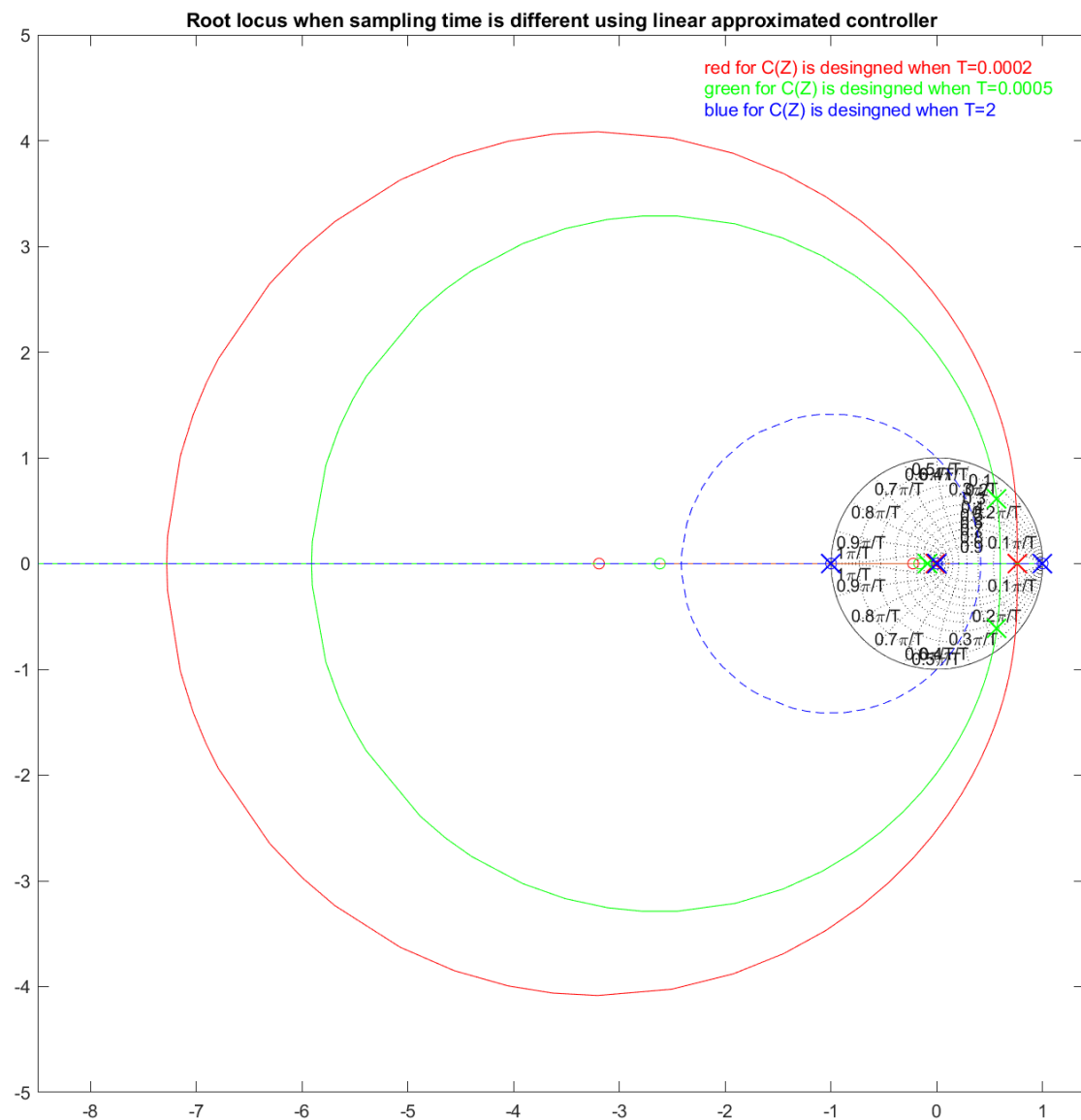
6. Explain the performance difference between two controllers.

由第 2 題設計的 continuous approximated controller 與第 3 題設計的 direct designed controller 觀察，不難看出其實兩個控制器的本質是相同的，都是 PI 控制器。其分子都是一個 z 平面上的零點，使在 1 的兩個極點能夠被吸引回單位圓內使系統穩定；分母都是 $(z-1)$ ，用以提升系統的階數以消除穩態誤差。

兩者最大的不同之處在於**取樣時間 T 所造成的影響**。透過 direct design 所設計的控制器，由於其離散系統(NSD)的解析式已知，因此即便取樣時間改變，我們仍然可以根據其系統 z 平面上極零點的位置設計合適的零點與增益，使系統的根落在我們想要的位置(例如:critical-damped)，進而的到我們所希望的響應(沒有 overshoot)。

然而，透過 continuous approximation 所設計的控制器是在時域下所設計的，所以並沒有考慮**取樣時間 T 所造成的影響**，只能說當 T 趨近於 0 時，響應會越接近原本時域的系統。而當取樣時間 T 改變時，系統會因為 ZOH 的影響而有不同的 NSD，而控制器卻沒辦法做出相應的改變，進而影響響應的結果，甚至會因為過大的取樣時間，而使系統無法穩定。

下面我們就透過根軌跡證明上述的觀點，取第 2 題設計的 continuous approximated controller 分別帶入取樣時間不同時的 NSD，可以發現當取樣時見為 $T=0.0002$ sec 時，由下面的根軌跡看出系統的根落在 critical-damped 的位置，透過第 4 題步階響應的結果我們也可以看出其並沒有 overshoot 產生；當 $T=0.0005$ sec 時，由於控制器沒有做出相應的改變，由下面的根軌跡看出系統的根落在 under-damped 的位置，透過第 4 題步階響應的結果我們也可以看出 overshoot 產生；當 $T=2$ sec 時，由下面的根軌跡看出系統的根已經跑出單位圓外，使系統不穩定。



Note:當 $T=2$ ， $C(Z)$ 其中一支極點落在 $-6.10e+06$ (unstable)，因位置過遠無法畫出。